

## ارزیابی روش‌های مختلف تعیین دمای پوشش گیاهی درختان پسته به کمک تصاویر ماهواره‌ای لندست ۸

محمدحسن رحیمیان<sup>۱</sup>، محمد شایان نژاد<sup>۲\*</sup>، سعید اسلامیان<sup>۳</sup>، رضا جعفری<sup>۴</sup>، مهدی قیصری<sup>۵</sup>، صالح تقواشیان<sup>۶</sup>

دانشجوی دکترای آبیاری و زهکشی، دانشکده کشاورزی، دانشگاه صنعتی اصفهان،

دانشیار گروه مهندسی آب، دانشکده کشاورزی، دانشگاه صنعتی اصفهان،

استاد گروه مهندسی آب، دانشکده کشاورزی، دانشگاه صنعتی اصفهان،

- استادیار گروه مرتع و آبخیزداری، دانشکده مهندسی منابع طبیعی، دانشگاه صنعتی اصفهان،

دانشیار گروه مهندسی آب، دانشکده کشاورزی، دانشگاه صنعتی اصفهان،

استادیار دانشکده پیوسيستم‌ها و مهندسی کشاورزی، دانشگاه اوکلاهوما

-۱

-۲

-۳

-۴

-۵

-۶

تاریخ دریافت مقاله: ۹۵/۰۸/۱۷ تاریخ پذیرش مقاله: ۹۵/۱۰/۲۷

### چکیده

یکی از کاربردهای تصاویر ماهواره‌ای، محاسبه دمای سطح زمین (*LST*) و استفاده وسیع این پارامتر در تخمین دمای هوا (*Tair*)، تخمین دمای پوشش گیاهی (*Tcanopy*)، بررسی تاثیر تنش‌های محیطی و مدیریتی بر گیاهان و غیره است. تعیین *LST* به کمک تصاویر ماهواره‌ای از طریق الگوریتم‌های مختلفی انجام می‌شود که هر یک به تناسب داده‌های موجود و شرایط اقلیمی، دارای مزایا و معایبی هستند. در این پژوهش به منظور تخمین دمای پوشش گیاهی باغات پسته منطقه بهباد در استان یزد، چهار الگوریتم تعیین دمای سطح شامل *MW*, *JMW*, *SC* و *SW* به کمک داده‌های ماهواره‌ای لندست ۸ و آماربرداری‌های زمینی مورد ارزیابی و مقایسه قرار گرفته‌اند. نتایج این پژوهش نشان داد که اختلاف میانگین دمای سطح محاسباتی توسط الگوریتم‌های مختلف، قابل توجه و در حدود ۲/۵ درجه سانتیگراد است. همچنین روند مقایسه‌ای دمای سطح محاسبه شده با الگوریتم‌های مختلف، در ماههای مختلف سال متفاوت بوده و نشان‌دهنده اهمیت و نقش بیشتر روش تعیین *LST* در فصول (مناطق) گرم نسبت به فصول (مناطق) سرد است. علاوه بر این، مشخص شد که دمای سطح زمین (*LST*) نسبت به دمای هوا (*Tair*), پارامتر مناسب‌تری برای تخمین دمای پوشش گیاهی باغات پسته الگوریتم پنجره‌محاجزا (*SW*), از دقت بالاتری نسبت به سایر الگوریتم‌های تعیین *LST* برخوردار بوده و می‌تواند در تعیین دمای پوشش گیاهی باغات پسته استفاده شود.

کلیدواژه‌ها: الگوریتم پنجره‌محاجزا، دمای پوشش گیاهی، ترمومتر مادون قرمز، پسته، لندست ۸.

## ۱- مقدمه

میکرومتر برای باند شماره ۱۰ و ۱۱، ۱۱،۵ تا ۱۲،۵ میکرومتر برای باند شماره ۱۱، قادر به ثبت تابش‌های مادون قرمز حرارتی با قدرت تفکیک مکانی ۱۰۰ متر می‌باشد [۵ و ۶]. یکی از مهمترین کاربردهای این سنجنده، محاسبه دمای سطح زمین و استفاده وسیع این پارامتر در مطالعات مختلف زمین‌فیزیک<sup>۹</sup> و زیست‌فیزیک<sup>۱۰</sup> است [۷، ۸ و ۹]. اصلی‌ترین تفاوت بین سنجنده جدید TIRS با سنجنده‌های قبلی لندست TM و ETM، در حضور دو باند حرارتی مادون قرمز (TIR) در پنجره جوی ۱۰/۸ و ۱۲ میکرون است. همین موضوع سبب شده تا باب استفاده از الگوریتم‌های پنجره‌مجزا<sup>۱۱</sup> (SW) به جای الگوریتم‌های تک‌پنجره<sup>۱۲</sup> (MW) یا تک‌کاناله<sup>۱۳</sup> (SC) برای محاسبه LST باز شود. الگوریتم‌های SC بر روی هر یک از باندهای TIRS قابل اجرا می‌باشد. اما از آنجایی که باند اول TIRS (به عبارتی دیگر باند شماره ۱۰ لندست ۸) در ناحیه جذب کمتر اتمسفری به‌دلیل بیشتر بودن مقادیر عبور اتمسفری قرار دارد، این باند نسبت به باند دوم TIRS (باند شماره ۱۱ لندست ۸) ارجح است. یکی از الگوریتم‌های تک‌کاناله (SC) که توسط جیمنز مونوز و همکاران [۱۰] توسعه یافته، از رابطه (۱) برای محاسبه LST یا  $T_s$  استفاده می‌نماید.

$$T_s = \gamma \left[ \frac{1}{\varepsilon} (\psi_1 L_{sen} + \psi_2) + \psi_3 \right] + \delta \quad (1)$$

که در آن  $L_{sen}$  مقدار تشعشع حرارتی ثبت شده از اجسام در محل سنجنده،  $\varepsilon$  قابلیت انتشار یا گسیلنده‌گی سطحی<sup>۱۴</sup>، ضرایب  $\psi_1$  و  $\psi_2$  و  $\psi_3$  توابع اتمسفری<sup>۱۵</sup> و پارامترهای گاما و دلتا (۷ و ۸) از طریق معادله پلانک و به صورت زیر قابل محاسبه‌اند:

دمای سطح زمین (LST<sup>۱</sup>) یکی از پارامترهای کلیدی در مطالعات فرایندهای سطح زمین در مقیاس‌های مختلف مکانی اعم از محلی تا جهانی است. این پارامتر بیانگر وضعیت تعادل ترمودینامیکی سطح زمین است که از طریق تبادل اجزای مختلف بیلان انرژی بین جو، سطح زمین و خاک زیرسطحی صورت می‌گیرد [۱۱]. لذا آگاهی از LST کاربردهای زیادی نظری مطالعه بیلان آب و انرژی [۲۲]، تخمین تبخیر و تعرق، کاربرد در مدل‌های گردش عمومی جو (GCM) و مطالعه گازهای گلخانه‌ای دارد [۳]. سیر صعودی روند مطالعات موجود در این زمینه بویژه در دو دهه اخیر نشان می‌دهد که اهمیت LST نیز بطور فزاینده‌ای در حال گسترش بوده و علاقه زیادی برای توسعه روش‌های اندازه‌گیری LST بویژه از طریق ماهواره‌ها موجود آمده است [۴]. با پرتاب ماهواره لندست ۸ در ۱۱ فوریه ۲۰۱۳ میلادی به فضا، امکان ادامه فعالیت ۴۰ ساله سنجنده‌های قبلی نصب شده بر روی ماهواره لندست نظیر<sup>۲</sup> MSS<sup>۳</sup> TM<sup>۴</sup> و ETM<sup>۵</sup> و تداوم در اخذ اطلاعات سنجش از دور با قدرت تفکیک مکانی بالا فراهم گردید. ماهواره لندست ۸ دو سنجنده به نامهای OLI<sup>۶</sup> و TIRS<sup>۷</sup> را حمل می‌کند. سنجنده OLI، داده‌های را با قدرت تفکیک مکانی ۳۰ متر و ۸ باند در محدوده طیف مرئی و مادون قرمز نزدیک (NIR<sup>۸</sup>) و همچنین مادون قرمز با طول موج کوتاه (SWIR<sup>۹</sup>) به همراه یک باند پانکروماتیک با قدرت تفکیک مکانی ۱۵ متر جمع‌آوری می‌نماید. سنجنده TIRS به کمک دو باند واقع در محدوده‌های پنجره جوی ۱۰/۶ تا ۱۱/۲

<sup>1</sup> - Land Surface Temperature<sup>2</sup> - Multi Spectral Scanner<sup>3</sup> - Thematic Mapper<sup>4</sup> - Enhanced Thematic Mapper<sup>5</sup> - Operational Land Imager<sup>6</sup> - Thermal Infra Red Sensor<sup>7</sup> - Near Infra Red<sup>8</sup> - Short Wave Infra Red

تابش موثر اتمسفری رو به پایین<sup>۶</sup> (وات بر مترمربع بر میکرون بر استرادیان) نام دارد. ضرایب  $\tau$ ،  $L_u$  و  $L_d$  در محیط وب و توسط محاسبه‌گر پارامترهای اتمسفری<sup>۷</sup> نیز قابل تعیین‌اند [۱۴]. این محاسبه‌گر به اطلاعات مکان و زمان مورد نظر، دمای هوا، رطوبت نسبی و فشار هوا نیاز دارد و محاسبات را برای انواع سنجنده‌های لندست انجام می‌دهد. این محاسبه‌گر بر اساس اطلاعات دریافتی از کاربر، ابتدا نیمرخ‌های جو برای پارامترهای دما، بخار آب و فشار هوا را به کمک بانک اطلاعاتی *NCEP*<sup>۸</sup> و با دقت مکانی ۱ درجه جغرافیایی و دقت زمانی ۶ ساعت شبیه‌سازی می‌کند. پس از شبیه‌سازی نیمرخ جو برای *MODTRAN* این پارامترها، داده‌های مذکور وارد مدل شده و طی دو مرحله شبیه‌سازی بی در پی، ضرایب  $\tau$ ،  $L_d$  و  $L_u$  به دست می‌آیند [۱۵]. راهکار عملی پیشنهاد شده توسط جیمنز مونوز و همکاران [۱۰] در الگوریتم *SC* شامل تخمین توابع اتمسفری تعریف شده در روابط (۵) و (۶) بر اساس میزان بخار آب اتمسفری (ω) و از طریق برآش یکتابع چندجمله‌ای درجه دوم بین این توابع و ω می‌باشد ( $C\omega = \psi$ ) که این رابطه به صورت ماتریس زیر خواهد بود:

$$\begin{bmatrix} \psi_1 \\ \psi_2 \\ \psi_3 \end{bmatrix} = \begin{bmatrix} C_{11} & C_{12} & C_{13} \\ C_{21} & C_{22} & C_{23} \\ C_{31} & C_{32} & C_{33} \end{bmatrix} \begin{bmatrix} \omega^2 \\ \omega \\ 1 \end{bmatrix} \quad \text{رابطه (۸)}$$

که در این ماتریس، ضرایب  $C_{ij}$  از طریق شبیه‌سازی به دست می‌آیند. همچنین در صورت در دسترس بودن ضرایب  $\tau$ ،  $L_u$  و  $L_d$ ، توابع اتمسفری از طریق روابط (۷) و (۸) هم قابل محاسبه می‌باشند که در این صورت، نیازی به برآش روابط تجربی بین ψ و ω نخواهد بود. فرمولاسیون ساده‌تری نیز برای تبدیل دمای درخشندگی ( $T_{sen}$ ) به دمای سطحی ( $T_s$ ) بر پایه

$$\gamma \approx \frac{T_{sen}^2}{b_\gamma L_{sen}} \quad \text{رابطه (۲)}$$

$$\delta \approx T_{sen} - \frac{T_{sen}^2}{b_\gamma} \quad \text{رابطه (۳)}$$

که در آن  $T_{sen}$  دمای درخشندگی<sup>۹</sup> در محل سنجنده (کلوین)،  $b_\gamma$  در واقع نسبت بین γ/۲ است که برای سنجنده *TIRS* ماهواره لندست ۸ و برای باند ۱۰ و ۱۱ به ترتیب برابر با ۱۳۲۴ و ۱۱۹۹ پیشنهاد شده است. ضریب  $C_2$  یکی از ضرایب الگوریتم پنجره‌محزا است و برای هر سنجنده، از طریق داده‌های شبیه‌سازی به دست می‌آید. این ضریب در معادلات مربوط به الگوریتم *SW* حضور داشته و برای تعدادی از سنجنده‌های پرکاربرد در [۱۲ و ۱۱]<sup>۱۰</sup> ارائه شده است. ارتباط بین  $T_{sen}$  و  $L_{sen}$  از طریق معکوس قانون بلانک<sup>۱۱</sup> و مفهوم طول موج موثر<sup>۱۲</sup> قابل بررسی است:

$$T_{sen} = \frac{K_2}{\ln\left(\frac{K_1}{L_{sen}} + 1\right)} \quad \text{رابطه (۴)}$$

که مقادیر  $K_1$  و  $K_2$  بر حسب وات بر مترمربع بر میکرون بر استرادیان ( $Wm^{-2}\mu m^{-1}sr^{-1}$ ) و از طریق تقسیم ثابت‌های بازتابندگی بر طول موج موثر ( $\lambda$ ) به دست می‌آیند. در مورد سنجنده حرارتی لندست ۸ و برای باند ۱۰، مقادیر  $K_1$  و  $K_2$  به ترتیب برابر با  $K_2 = 1321/0.8$  و  $K_1 = 774.89$  و برای باند ۱۱، مقادیر  $K_1$  و  $K_2$  به ترتیب برابر با  $K_2 = 480/0.89$  و  $K_1 = 1201/1.14$  می‌باشند [۱۳]. توابع اتمسفری ارائه شده در رابطه (۱) نیز به صورت زیر تعریف شده‌اند:

$$\psi_1 = \frac{1}{\tau} \quad \text{رابطه (۵)}$$

$$\psi_2 = -L_d - \frac{L_u}{\tau} \quad \text{رابطه (۶)}$$

$$\psi_3 = L_d \quad \text{رابطه (۷)}$$

که  $\tau$ ،  $L_u$  و  $L_d$  به ترتیب ضریب انتقال یا عبور اتمسفری<sup>۱۳</sup> (بدون واحد)، تابش موثر اتمسفری رو به بالا<sup>۱۴</sup> (وات بر مترمربع بر میکرون بر استرادیان) و

<sup>۱</sup>-At satellite Brightness Temperature

<sup>۲</sup>-Planck's Law

<sup>۳</sup>-Effective Wavelength

<sup>۴</sup>- Band average atmospheric transmission

<sup>۵</sup>-Effective bandpass upwelling radiance

<sup>۶</sup>-Effective bandpass downwelling radiance

<sup>۷</sup>-Atmospheric correction parameter calculator, available in: <http://atmcorr.gsfc.nasa.gov/>

<sup>8</sup>- National Centers for Environmental Prediction

ضرایب باند شماره ۱۰ سنجنده حرارتی لندست ۸ هستند که برای محدوده دمایی ۰ تا ۵۰ درجه به ترتیب برابر با  $-62/7182$  و  $0/4339$  برآورد شده‌اند [۶]. ضرایب  $C_{10}$  و  $D_{10}$  پارامترهای داخلی الگوریتم تک‌پنجره‌اند که به کمک روابط (۱۱ و ۱۲) محاسبه می‌شوند:

$$C_{10} = \tau_{10}\varepsilon_{10} \quad (11)$$

$$D_{10} = (1 - \tau_{10})[1 + (1 - \varepsilon_{10})\tau_{10}] \quad (12)$$

که  $\tau_{10}$  و  $\varepsilon_{10}$  به ترتیب ضریب عبور اتمسفری و گسیلنندگی محاسبه شده از طریق باند ۱۰ می‌باشند. برای تعیین  $T_a$ ، از دمای هوای نزدیک به سطح زمین<sup>۵</sup> ( $T_0$ ) در زمان گذر ماهواره ( $t$ ) استفاده می‌شود که این پارامتر در ایستگاه‌های هواشناسی زمینی و از طریق اندازه‌گیری دمای حداقل ( $T_{min}$ )، دمای حداقل ( $T_{max}$ )، ساعات طول روز ( $t_{dl}$ ) و در نظر گرفتن اختلاف ساعات بین ظهر خورشیدی تا قوع دمای حداقل روزانه ( $t_{Tmax}$ ) قابل محاسبه است [۱۸].

$$T_{0j} = T_{min} + (T_a - T_a) \sin[\pi(t + t_{dl}/2 - 12)/(t_{dl} + 2t_{Tmax})] \quad (13)$$

دمای  $T_0$  با دمای  $T_a$  ارتباط رگرسیونی خطی مستقیم دارد و در شرایط مختلف فصلی و عرض جغرافیایی قابل استخراج است. مثلاً برای تابستان عرض میانی<sup>۶</sup> این رابطه به صورت  $T_a = 16.0110 + 0.9262T_0$  تعریف شده است [۱۹ و ۶]. ضریب عبور اتمسفری ( $\tau_{10}$ ) تحت تاثیر فاکتورهای زیادی نظیر بخار آب، طول موج، اوزون و آئروسلوها است. در این بین، بخار آب اتمسفری ( $w$ ) نقش مهمتری در تعیین ضریب عبور اتمسفری در محدوده طیف حرارتی دارد. بخار آب اتمسفری از طریق دمای هوای نزدیک به سطح زمین ( $T_0$ ) بر حسب کلوین و رطوبت نسبی هوا

<sup>۵</sup> -Near surface air temperature

<sup>۶</sup> -Mid latitude summer

روش تک‌پنجره<sup>۱</sup> پیشنهاد گردیده که شامل رابطه (۹) می‌باشد [۱۶]:

$$T_s = \frac{T_{sen}}{1 + \lambda * 10^{-6} * \left(\frac{T_{sen}}{\rho}\right) * \ln(\varepsilon)} \quad (9)$$

که  $\varepsilon$  قابلیت انتشار (گسیلنندگی) زمینی و  $\lambda$  طول موج موثر باند حرارتی مورد نظر بر حسب میکرون است که برای باندهای ۱۰ و ۱۱ سنجنده TIRS، به ترتیب برابر با  $10/8$  و  $12$  می‌باشند. مقدار  $\rho$  برابر با عدد ثابت ثابت پلانک  $J.s$  ( $6.626 * 10^{-34}$ ) در سرعت نور  $1.38 * 10^{23} m/s$  تقسیم بر ثابت بولتزمن ( $2.998 * 10^8 m/s$ ) ( $J/K$ ) به دست می‌آید. علاوه بر این، یک الگوریتم تک‌پنجره بهبودیافته<sup>۲</sup> به نام IMW توسط وانگ و همکاران [۶] ارائه شده است که به چهار پارامتر دمای درخشندگی، دمای میانگین موثر<sup>۳</sup>، ضریب عبور اتمسفری<sup>۴</sup> و گسیلنندگی نیازمند است [۱۷].

پارامتر ضریب عبور اتمسفری بر اساس میزان بخار آب اتمسفر ( $w$ ) و از طریق دمای هوا در نزدیک سطح زمین ( $T_0$ ) و رطوبت نسبی هوا (RH) تعیین خواهد شد. پیشنهاد دهنده مدل IMW تأکید کرده است که تعیین دقیق تخمین بخار آب اتمسفری، نقش تاثیرگذاری در دقت نهایی LST خواهد داشت. در یک شرایط متوسط از نظر دقت تخمین بخار آب و گسیلنندگی سطح، خطای این مدل  $1/4$  کلوین عنوان شده است. در این الگوریتم به کمک باند ۱۰ سنجنده حرارتی لندست ۸ (TIRS-1)، دمای سطح زمین (LST) توسط فرمول زیر محاسبه می‌شود:

$$\text{رابطه (10)}$$

$$T_s = [a_{10}(1 - C_{10} - D_{10}) + (b_{10}(1 - C_{10} - D_{10}) + C_{10} + D_{10})T_{10} - D_{10}T_a]/C_{10}$$

که  $T_s$  دمای سطح،  $a_{10}$  دمای میانگین موثر،  $T_{10}$  دمای درخشندگی باند ۱۰ سنجنده حرارتی،  $b_{10}$  و

<sup>۱</sup> -Mono Window

<sup>۲</sup> -Improved Mono-Window

<sup>۳</sup> -Effective mean temperature

<sup>۴</sup> -Atmospheric transmittance

محاسبه است [۱۷].

$$\omega = 0.0981 * \left\{ 10 * 0.6108 * \exp \left( \frac{17.27 * (T_0 - 273.15)}{237.3 + (T_0 - 273.15)} \right) * RH \right\} + 0.1697 \quad (۱۴)$$

نماینگین قابلیت انتشار اتمسفری (گسیلنده‌گی) دو باند  $\omega$  و  $\Delta\epsilon$  اختلاف گسیلنده‌گی این دو باند می‌باشد. بنابراین مقدار  $\epsilon$  برابر خواهد بود با:

$$\epsilon = 0.5(\epsilon_i + \epsilon_j) \quad (۱۵)$$

و برای  $\Delta\epsilon$  خواهیم داشت:

$$\Delta\epsilon = \epsilon_j - \epsilon_i \quad (۱۶)$$

بخار آب اتمسفری ( $\omega$ ) در واقع تجمع عمودی بخار آب در واحد سطح است که بر حسب سانتیمتر و یا گرم بر سانتیمتر مربع ( $\text{gr.cm}^{-2}$ ) بیان می‌شود [۲۱]. بخار آب اتمسفری به کمک ابزارهایی نظری رادیوسوند<sup>۱</sup> و یا از طریق سنجنده‌هایی نظیر<sup>۲</sup> MODIS،<sup>۳</sup> AVHRR و یا<sup>۴</sup> ATSR قابل اندازه‌گیری هستند [۲۲]. همچنین از طریق آماربرداری هواشناسی و تعیین دمای خشک هوا (T<sub>0</sub>) بر حسب کلوین، فشار هوا (P<sub>a</sub>) بر حسب کیلوپاسکال و رطوبت نسبی (RH) به صورت اعشار، ابتدا فشار بخار اشباع (e<sub>s</sub>) بر حسب کیلوپاسکال توسط یکی از روابط (۱۸) یا (۱۹) زیر محاسبه می‌شود:

$$e_s = 0.6108 * \exp \left( \frac{17.27 T_0}{237.3 + T_0} \right) \quad (۱۸)$$

$$\text{رابطه (۱۹)}$$

$$e_s = (1.0007 + 3.46 * 10^{-6} P) * 0.611121 * \exp \left( \frac{17.502 T_0}{240.97 + T_0} \right)$$

و سپس فشار بخار هوا (e) از طریق رابطه (۲۰) به دست می‌آید.

$$e = RH * e_s \quad (۲۰)$$

برای تبدیل e بر حسب کیلوپاسکال به  $\omega$  بر حسب گرم بر سانتیمترمربع از ضریب ۰/۹۸ استفاده می‌شود.

تعیین ضرایب C<sub>ij</sub> در الگوریتم SC و ضرایب C<sub>i</sub> در الگوریتم SW نیازمند مجموعه‌ای از داده‌ها برای

(RH) به صورت اعشار و طبق رابطه زیر قابل

رابطه (۱۴)

که ضریب ۰/۰۹۸۱ برای تبدیل فشار بخار اشباع از کیلوپاسکال به هکتوپاسکال، ضریب ۰/۰۹۶۹۷ برای تبدیل بخار اتمسفری از هکتوپاسکال به گرم بر سانتیمتر مربع و ضریب ۰/۰۹۱۸۴ مربوط به اصلاح فشار بخار اتمسفری است. پس از محاسبه  $\omega$ ، امکان محاسبه ضریب عبور اتمسفری باند ۱۰ (T<sub>10</sub>) به کمک روابط تجربی ارائه شده توسط وانگ و همکاران [۶] و یا جدول مشابه ارائه شده توسط یو و همکاران [۴] قابل محاسبه است. به عنوان مثال برای تابستان عرض میانی، می‌توان رابطه  $\omega = 0.9184 - 0.0725 \Delta\epsilon$  را به کار برد.

برخلاف الگوریتم‌های تک‌پنجره یا تک‌کاناله، در الگوریتم پنجره‌مجزا (SW) از هر دو باند ۱۰ و ۱۱ لندست ۸ با طول موج‌های موثر ۱۰/۸ و ۱۲ میکرون استفاده می‌شود. اساس این تکنیک بر این فرض استوار است که کاهش تشعشع به خاطر انجام جذب اتمسفری، تابعی از اختلاف تشعشعی است که به صورت همزمان در دو طول موج مجزا (که همان باندهای ۱۰ و ۱۱ می‌باشند) اندازه‌گیری می‌شود. در این شرایط، هر یک از باندها (طول موج‌ها) مقادیر متفاوتی از جذب اتمسفری را ثبت خواهد نمود. الگوریتم SW تشریح شده در زیر بر اساس روش سوبرینو و همکاران [۲۰] می‌باشد که در سنجنده‌های مختلف نیز مورد استفاده قرار گرفته است.

در این روش داریم:

رابطه (۱۵)

$$T_s = T_i + C_1(T_i - T_j) + C_2(T_i - T_j)^2 + C_0 + (C_3 + C_4\omega)(1 - \epsilon) + (C_5 + C_6\omega)\Delta\epsilon$$

که در آن، T<sub>i</sub> و T<sub>j</sub> دمای درخشندگی در محل سنجنده برای باندهای i و j (یعنی باندهای ۱۰ و ۱۱ ماهواره لندست ۸) بر حسب کلوین، ضرایب C<sub>1</sub> تا C<sub>6</sub> ضرایب الگوریتم پنجره‌مجزا،  $\omega$  بخار آب اتمسفری،

<sup>1</sup> -Radiosonde

<sup>2</sup> - Moderate Resolution Imaging Spectrometer

<sup>3</sup> - Advanced Very High Resolution Radiometer

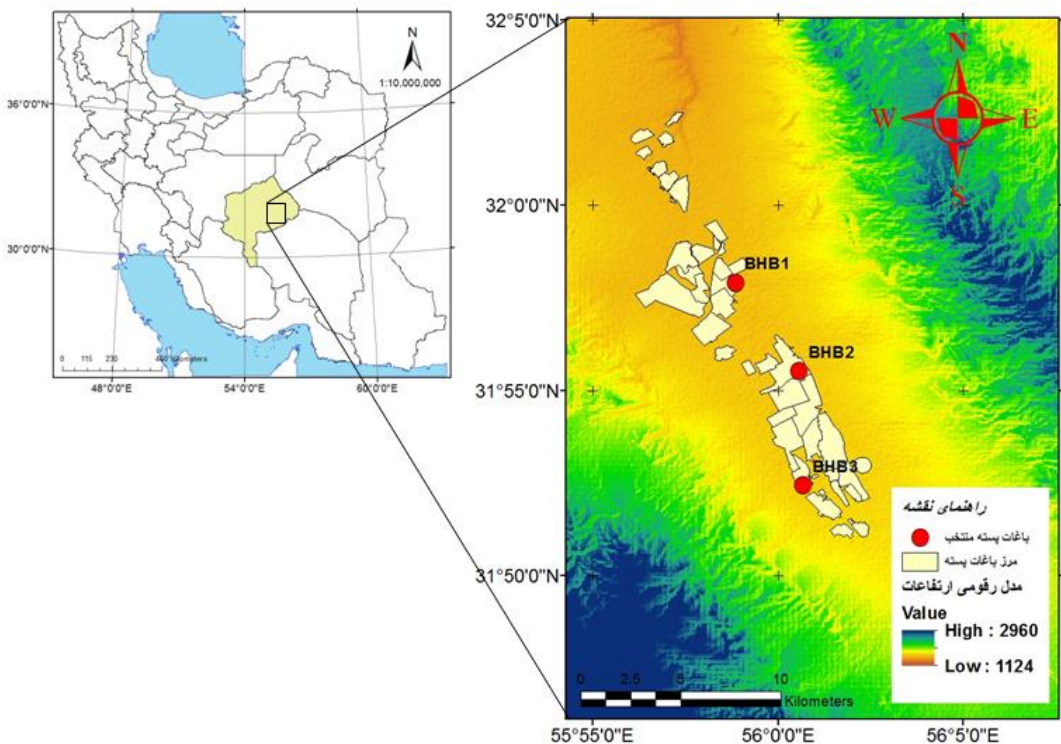
<sup>4</sup> - Along-Track Scanning Radiometer

$MW^{QK\&B}$  به دو پارامتر فشار بخار آب و دمای هوای نزدیک سطح زمین وابسته است. آنها  $SC^{JM\&S}$  را روشی جامع و قابل استفاده برای هر نوع باند حرارتی دانسته‌اند که خطای تقریبی ۱ تا ۲ درجه کلوین برای محدوده فشار بخار  $0/5$  تا  $2$  گرم بر سانتیمتر مربع دارد [۱۰]. جیانینی و همکاران [۲۶] نیز اقدام به مقایسه روش‌های مختلف تعیین  $LST$  توسط ماهواره لندست  $5$  نموده‌اند. آن‌ها بکارگیری روش تک‌پنجره و استخراج گسیلنده‌گی از شاخص نسبت پوشش گیاهی ( $Pv$ ) و محاسبه دمای سطح زمین از طریق دمای درخشندگی ( $T_{sen}$ ) و به کارگیری رابطه (۹) را پیشنهاد کرده‌اند. یو و همکاران [۴] نیز مقایسه‌ای بین سه روش مختلف تعیین  $LST$  توسط تصاویر ماهواره‌ای لندست  $8$  کرده‌اند. آنها خطای استخراج دمای سطح از معادله انتقال تشعشع و باندهای  $10$  و  $11$  را به ترتیب برابر با  $0/903$  و  $1/153$  کلوین دانسته‌اند. همچنین خطای به‌دست آمده در روش تک‌کاناله تعیین  $LST$  توسط باندهای  $10$  و  $11$  به ترتیب برابر با  $1/39$  و  $1/67$  کلوین و برای روش پنجره‌مجزا  $1/025$  کلوین بوده است. آن‌ها اذعان کرده‌اند که باند  $11$  نسبت به باند  $10$  ماهواره لندست  $8$ ، از عدم قطعیت بیشتری برای تعیین  $LST$  برخوردار است. هدف از اجرای این پژوهش مقایسه و ارزیابی روش‌های مختلف تعیین  $LST$  به کمک داده‌های ماهواره‌ای لندست  $8$ ، دقیق و کاربردی‌تری آن‌ها در تعیین دمای هوای دمای پوشش گیاهی باغات پسته در استان یزد است. این کار از طریق محاسبه دمای سطح توسط آلگوریتم‌های مختلف تک‌کاناله و پنجره‌مجزا، داده‌برداری‌های زمینی از طریق ترمومتر مادون قرمز، استفاده از آمار هواشناسی لحظه‌ای و مقایسه نتایج حاصله با یکدیگر حاصل شده است. دمای پوشش گیاهی باغات پسته در شناسایی اثرات تنفس‌های محیطی نظیر خشکی و همچنین محاسبه تبخیر و تعرق و نیاز آبی آن توسط روش‌های بیلان انرژی کاربرد دارد.

انجام فرآیند شبیه‌سازی است که از بانک‌های اطلاعاتی مربوط به نیمرخ جو در هر منطقه قابل استخراج می‌باشند. بانک‌های اطلاعاتی مذکور در مدل‌های انتقال تابش<sup>۱</sup> نظری  $MODTRAN$  استفاده می‌شوند و خروجی این مدل‌ها شامل برخی توابع پاسخ طیفی  $L_d$  و  $L_u$  است که از طریق آن‌ها می‌توان پارامترهای  $\tau$  را به‌دست آورد. در تحقیقات گسترده انجام شده توسط جیمنز مونوز و همکاران [۱۰ و ۲۳] و کریستوبال و همکاران [۲۴] از بانک‌های اطلاعاتی مختلف برای اخذ داده‌های نیمرخ جو کمک گرفته‌اند و ضرایب مذکور را برای دو الگوریتم  $SC$  و  $SW$  به‌دست آورده‌اند. این بانک‌های اطلاعاتی در مقیاس جهانی تعریف شده‌اند و داده‌هایی نظیر ارتفاع ژئوپتانسیل، فشار جو، دمای هوای و رطوبت نسبی را برای نیمرخ جو ثبت کرده‌اند. در مطالعه جیمنز مونوز و همکاران [۲۳] از مدل جهانی<sup>۲</sup>  $GAPRI$  استفاده شده و پس از استخراج  $4714$  داده از نیمرخ جو در نقاط مختلف کره زمین و با آب و هوای مختلف حاره‌ای، عرض میانی و شمالگان، ضرایب آلگوریتم‌های  $SC$  و  $SW$  به صورت جداوی ارائه شده و قابل تعمیم به مناطق مشابه است. تحقیقات متعددی نیز در زمینه مقایسه و ارزیابی روش‌های تعیین  $LST$  به کمک تصاویر ماهواره‌ای انجام شده است. به عنوان مثال بن‌مچتا و همکاران [۲۵] اقدام به یک مطالعه جامع بر روی این روش‌ها و اجزای آن‌ها اعم از فرآیند محاسبه، پارامترهای ورودی در هر روش، دقت نسبی و کاربردی‌تری آنها در مسایل مختلف کرده‌اند. آن‌ها اذعان نموده‌اند که روش تک‌کاناله جیمنز مونوز و سوبرینو [۱۲] موسوم به روش  $SC^{JM\&S}$  تنها به پارامتر فشار بخار آب وابسته است. در حالی که روش تک‌پنجره کین و همکاران [۱۹] موسوم به روش

<sup>1</sup> - Radiative transfer<sup>2</sup> - Global Atmospheric Profiles from Reanalysis Information

(شکل (۱)). بر اساس آمار درازمدت ایستگاه هواشناسی سینوپتیک بهباد، میانگین درجه حرارت  $18.5^{\circ}\text{C}$  درجه سانتیگراد، متوسط بارندگی  $68\text{ mm}$  و میانگین رطوبت نسبی هوا  $32.5\%$  درصد است. باغات پسته بهباد با مساحتی بالغ بر  $2800\text{ ha}$  هکتار در اراضی مسطح واقع در خط القعر دشت و با ارتفاع تقریبی  $1350\text{ m}$  تا  $1420\text{ m}$  نسبت به سطح دریا قرار گرفته‌اند. میانگین ارتفاع از سطح دریای این منطقه حدود  $1600\text{ m}$  است.



شکل ۱: نقشه موقعیت قرارگیری منطقه مطالعاتی بر روی نقشه و مدل رقومی ارتفاعات

آبان،  $29$  آبان،  $15$  آذر،  $1$  دی و  $17$  دی می‌باشد که بازه زمانی نیمه‌فروردهای تا پایان مهرماه (دوره رویش درختان پسته در منطقه مطالعاتی) و پس از آن را شامل می‌شوند. علاوه بر این از آمار هواشناسی ایستگاه سینوپتیک بهباد واقع در جنوب منطقه مطالعاتی برای تعیین دمای هوای نزدیک سطح ( $T_0$ )، دمای موثر اتمسفری ( $T_a$ ، بخار آب اتمسفری ( $w$ ) و ضریب عبور اتمسفری ( $\tau$ ) استفاده شد. همچنین از دمای هوای لحظه‌ای ایستگاه مذکور در زمان گذر ماهواره برای

## ۲- مواد و روش‌ها

در ادامه به معرفی منطقه مورد مطالعه، داده‌های مورد استفاده و روش شناسی حل مساله پرداخته می‌شود.

### ۲-۱- منطقه مورد مطالعه

این پژوهش در منطقه بهباد واقع در شرق استان یزد انجام شده است. منطقه مطالعاتی در بین عرض‌های جغرافیایی  $31^{\circ}47'$  تا  $32^{\circ}10'$  شمالی و طول‌های جغرافیایی  $50^{\circ}55'$  تا  $51^{\circ}00'$  شرقی قرار گرفته است.

## ۲- داده‌های مورد استفاده

تصاویر ماهواره‌ای مورد استفاده برای این پژوهش، یک سری زمانی از تصاویر لندست  $8$  مربوط به سال‌های  $2015$  و  $2016$  میلادی (سال  $1394$ ) با فاصله زمانی  $16$  روز از همیگر هستند که از طریق وبگاه ناسا اخذ گردیده‌اند. تصاویر مذکور مربوط به تاریخهای  $21$  فروردین،  $6$  اردیبهشت،  $22$  اردیبهشت،  $7$  خرداد،  $23$  خرداد،  $8$  تیر،  $9$  مرداد،  $10$  شهریور،  $11$  شهریور،  $13$  مهر،  $26$  مهر،  $27$  مهر،  $13$

### ۲-۲- داده‌های مورد استفاده

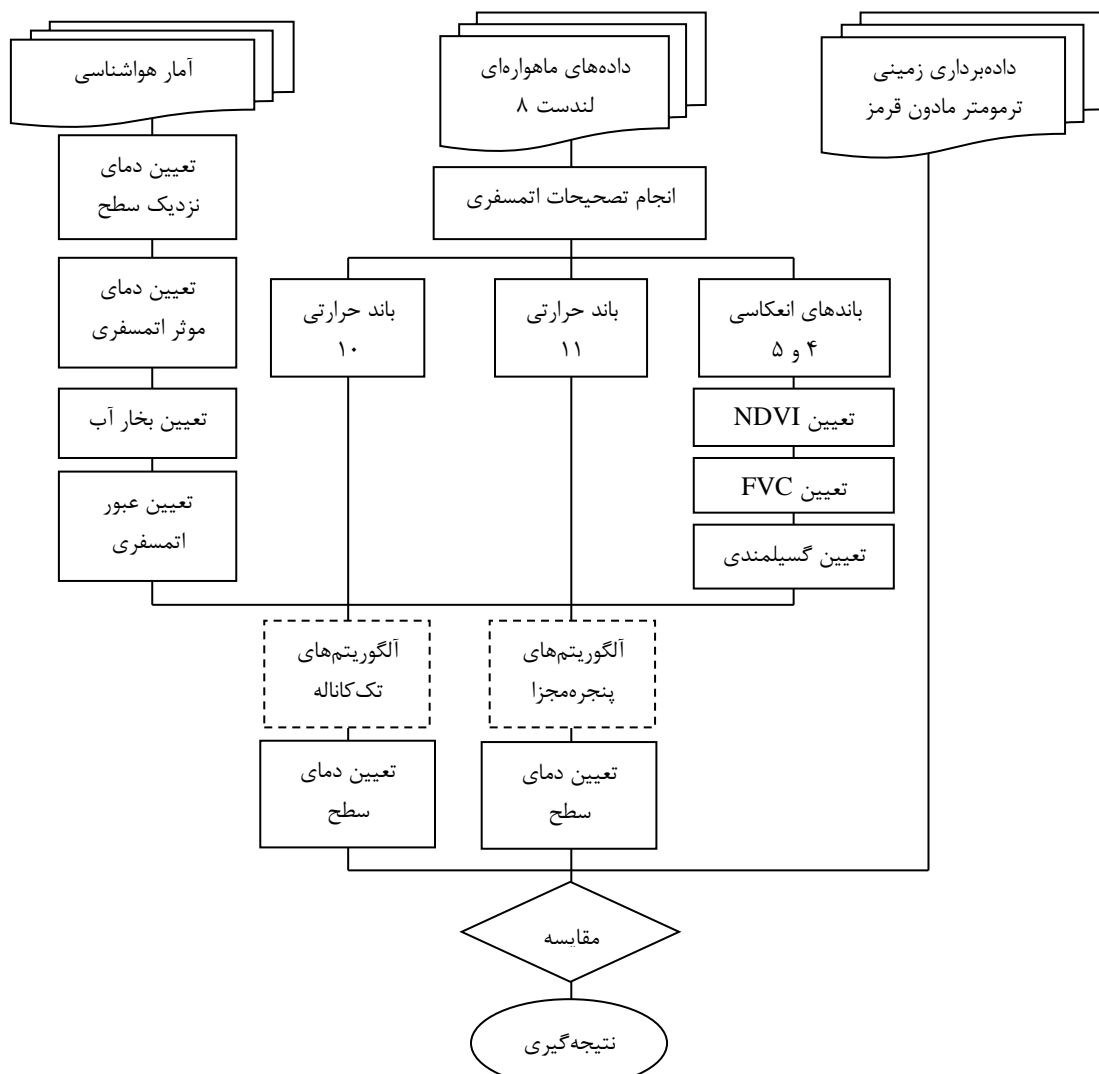
تصاویر ماهواره‌ای مورد استفاده برای این پژوهش، یک سری زمانی از تصاویر لندست  $8$  مربوط به سال‌های  $2015$  و  $2016$  میلادی (سال  $1394$ ) با فاصله زمانی  $16$  روز از همیگر هستند که از طریق وبگاه ناسا اخذ گردیده‌اند. تصاویر مذکور مربوط به تاریخهای  $21$  فروردین،  $6$  اردیبهشت،  $22$  اردیبهشت،  $7$  خرداد،  $23$  خرداد،  $8$  تیر،  $9$  مرداد،  $10$  شهریور،  $11$  شهریور،  $13$  مهر،  $26$  مهر،  $27$  مهر،  $13$

زمان‌های اندازه‌گیری تقریباً منطبق بر لحظه گذر ماهواره در منطقه مطالعاتی (ساعت ۱۰:۲۰ دقیقه صبح) و مربوط به تاریخ‌های ۲۲ اردیبهشت، ۷ خرداد، ۲۳ خرداد، ۸ تیر، ۲۴ تیر، ۹ مرداد، ۲۵ مرداد، ۱۰ شهریور، ۲۶ شهریور و ۱۱ مهر بوده است.

### ۳-۲-روش‌شناسی

شکل (۲) مراحل مختلف انجام این پژوهش را نشان می‌دهد.

مقایسه با LST استفاده گردید. علاوه بر این، برای ارزیابی و مقایسه نتایج LST در باغات پسته، دمای تاج پوشش گیاهی به کمک دماسنج مادون قرمز EXTECH مدل IR400 در سه باغ پسته واقع در منطقه مطالعاتی (که بر روی شکل (۱) با نقاط BHB1، BHB2 و BHB3 مشخص شده) اندازه‌گیری شد. اندازه‌گیری‌ها در سه نقطه مختلف دور از همدیگر در هر باغ و در هر نقطه، در جاهای مختلف از درخت (بالا، وسط و پائین تاج پوشش) و پشت به آفتاب انجام و میانگین‌گیری شده است.



شکل ۲: روند نمای انجام پژوهش

پس از اخذ تصاویر ماهواره‌ای و انجام تصحیحات اتمسفری در محیط نرم‌افزاری ENVI و

به عنوان مثال بر اساس نظر اسکوکوویچ و همکاران [۲۸] و برای باند ۱۰ ماهواره لندست، این ضرایب به ترتیب برابر با  $0.971$  و  $0.987$  و در مطالعه اودان و جوانوفسکا [۳۰] این ضرایب به ترتیب برابر با  $0.973$  و  $0.966$  و در نظر گرفته شده‌اند. در مطالعه سوبرینو و همکاران [۳۱] این ضرایب به ترتیب برابر با  $0.980$  و  $0.966$  (میانگین پوشش‌های گیاهی یونجه، ذرت و جودیم) در نظر گرفته شده‌اند. روش‌های مختلف برای اندازه‌گیری قابلیت‌های انتشار خاک لخت ( $\epsilon_s$ ) و پوشش گیاهی کامل ( $\epsilon_v$ ) وجود دارد که می‌توان به لی و همکاران [۳۱] رجوع کرد. برخی محققین نیز مقادیر گسیلندگی را برای کلاس‌های مختلف پوشش گیاهی و خاک در طول موج‌های مختلف اندازه‌گیری و به صورت جداولی ارائه کرده‌اند [۳۲] که در صورت شباهت کلاس‌های مذکور با منطقه مطالعاتی، می‌توان از این مقادیر در محدوده طول موج مورد نظر استفاده نمود. در مطالعه حاضر با مقایسه شرایط منطقه مطالعاتی با این جداول، این ضرایب به ترتیب برابر با  $0.978$  و  $0.966$  در نظر گرفته شده و نقشه‌های گسیلمندی بر اساس رابطه (۲۳) تهیه شده‌اند. سپس به کمک روش‌های مختلف تعیین دمای سطح (LST)، دمای پوشش گیاهی باغات پسته در منطقه بهباد محاسبه و با مقادیر اندازه‌گیری شده توسط دماسنجد مادون قرمز در روزهای گذر ماهواره مقایسه و سپس تحلیل شدند. جدول (۱) روش‌های به کار گرفته شده در این پژوهش را به‌طور خلاصه نشان می‌دهد. توضیحات کامل در خصوص این روش‌ها و معادلات هر یک، در بخش مقدمه آورده شده است.

به روش‌های FLAASH<sup>۱</sup> و TAC<sup>۲</sup> برای باندهای انعکاسی و حرارتی، اقدام به تصحیح رادیومتری تصاویر و محاسبه بازتابش باندهای انعکاسی  $4$  و  $5$  (مقادیر  $\rho$ ) و تشعشع باندهای حرارتی  $10$  و  $11$  (مقادیر  $L_{sen}$ ) در محیط نرم‌افزاری ILWIS گردید. در این روش‌ها از طریق اجرای الگوریتمی بر پایه فیزیک معادله انتقال تشعشع در مدل MODTRAN4، اقدام به حذف اثرات جوی ناشی از پراکنش و جذب مولکولی ذرات از مقادیر تشعشع ثبت شده توسط سنجنده می‌کند. سپس برای تعیین ضریب انتشار (گسیلندگی)، از روش آستانه‌گذاری شاخص پوشش گیاهی NDVI [۲۷] استفاده شده است. بدین‌منظور ابتدا نقشه شاخص تفاضل پوشش گیاهی نرمال شده یا NDVI محاسبه گردید:

$$NDVI = \frac{\rho_{NIR} - \rho_{red}}{\rho_{NIR} + \rho_{red}} = \frac{\rho_5 - \rho_4}{\rho_5 + \rho_4} \quad (21)$$

پس از تهیه نقشه NDVI، مقادیر این شاخص برای خاک ( $NDVI_s$ ) و پوشش گیاهی ( $NDVI_v$ ) به دست آمد و سپس، پارامتر کسر پوشش گیاهی  $^3$  یا FVC به صورت زیر محاسبه گردید:

$$FVC = \frac{NDVI - NDVI_s}{NDVI_v - NDVI_s} \quad (22)$$

سپس از فرمول زیر برای تعیین گسیلندگی سطح زمین استفاده شد که در آن مقادیر  $\epsilon_s$  و  $\epsilon_v$  به ترتیب گسیلندگی (قابلیت انتشار) مربوط به خاک لخت و پوشش گیاهی متراکم می‌باشند.

$$\epsilon = \epsilon_v * FVC + \epsilon_s (1 - FVC) \quad (23)$$

معادله مذکور یک معادله نیمه‌تجربی است که ضرایب گسیلندگی خاک و پوشش گیاهی ( $\epsilon_s$  و  $\epsilon_v$ ) در طول موج‌های مختلف و شرایط مختلف از نظر نوع خاک و پوشش گیاهی تغییر می‌کنند.

<sup>1</sup> - Fast Line-of-sight Atmospheric Analysis of Hypercubes

<sup>2</sup> - Thermal Atmospheric Correction

<sup>3</sup> -Fractional Vegetation Cover

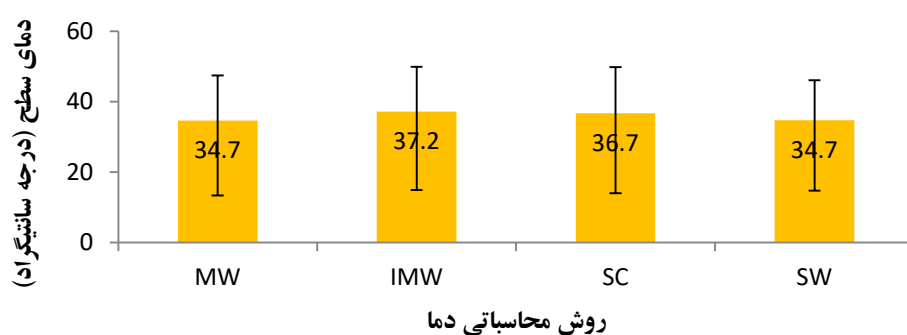
جدول ۱: روش‌های استفاده شده برای محاسبه دمای سطح باغات پسته منطقه مطالعاتی به کمک تصاویر ماهواره‌ای لنdest ۸

نام روش	علامت اختصاری	توضیح و فرمولهای مورد استفاده
تک‌پنجره [۱۶]	MW	حل روابط (۴ و ۹) بر اساس باند حرارتی ۱۰ لنdest ۸
تک‌پنجره اصلاح شده [۶]	IMW	حل روابط (۱۰، ۱۱، ۱۲، ۱۳، ۱۴) بر اساس باند حرارتی ۱۰ لنdest ۸ و آمار هوشناسی ایستگاه سینوپتیک بهباد
تک‌کاناله [۱۰]	SC	حل روابط (۱، ۲، ۳، ۴، ۵، ۶، ۷ و ۸) بر اساس باند حرارتی ۱۰ لنdest ۸، آمار هوشناسی ایستگاه سینوپتیک بهباد و استفاده از محاسبه‌گر پارامترهای جوی
پنجره‌مجزا [۲۰]	SW	حل روابط (۱۵، ۱۶، ۱۷، ۱۸، ۱۹ و ۲۰) بر اساس باندهای حرارتی ۱۰ و ۱۱ لنdest ۸ و آمار هوشناسی ایستگاه سینوپتیک بهباد

که عدد قابل توجهی می‌باشد. بیشترین دمای سطحی باغات پسته توسط روش تک‌پنجره اصلاح شده یا IMW محاسبه شده است. روش‌های تک‌پنجره و پنجره‌مجزا میانگین‌های مشابهی را به دست داده‌اند؛ این در حالی است که روش MW بر پایه باند ۱۰ و روش SW بر پایه ترکیبی از باندهای ۱۰ و ۱۱ و آمار هوشناسی، دمای سطح باغات پسته را محاسبه نموده است. در این بین، روش تک‌کاناله SC مقادیر حد وسط از دمای سطح را به ثبت رسانیده است. کمترین دمای سطحی باغات پسته به روش MW (۱۳/۴ درجه سانتیگراد در ۱ دیماه) و بیشترین دمای سطحی باغات پسته به روش IMW (۴۹/۹ درجه سانتیگراد در ۲۳ خردادماه) محاسبه شده است.

### ۳- نتایج

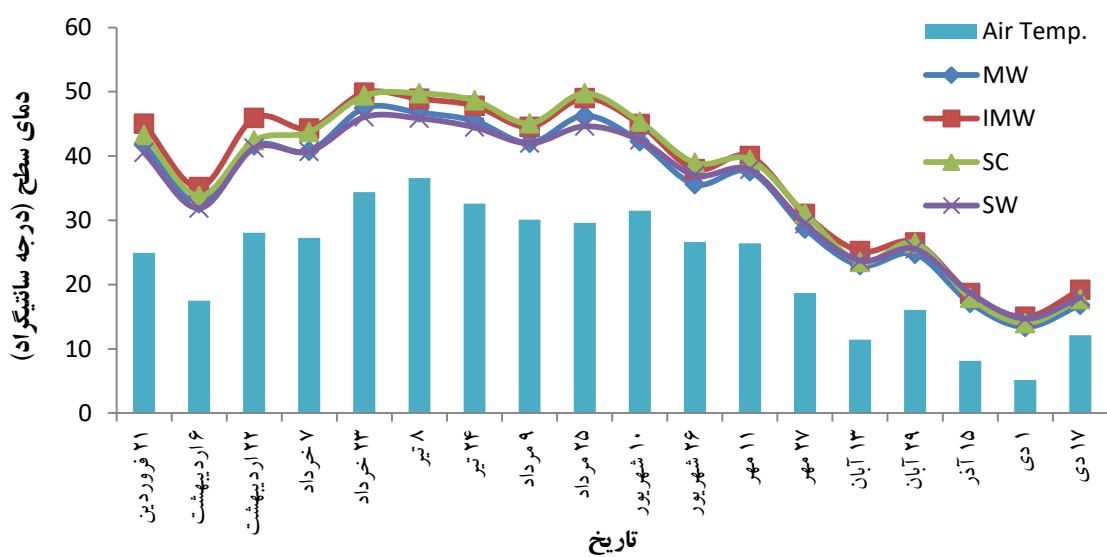
شکل (۳) میانگین دمای سطح محاسبه شده به روش‌های مختلف تک‌پنجره یا MW، تک‌پنجره اصلاح شده یا IMW، تک‌کاناله یا SC و پنجره‌مجزا یا SW را نشان می‌دهد که به کمک باندهای ۱۰ و ۱۱ ماهواره لنdest ۸ و آمار هوشناسی ایستگاه سینوپتیک بهباد (برای برخی از این روش‌ها) به دست آمده است. میله‌های قرار گرفته بر روی هر ستون از نمودار، مقادیر حدی حداقل و حداکثر دمای سطح باغات پسته در هر روش را نشان می‌دهد که در تاریخهای مختلف و یا محل‌های مختلف مشاهده شده است. میانگین دمای سطح پوشش گیاهی در روش‌های مذکور به ترتیب برابر با ۳۴/۷، ۳۷/۲، ۳۶/۷ و ۳۴/۷ بوده است. بنابراین، اختلاف میانگین دمای محاسباتی توسط روش‌های مختلف در حدود ۲/۵ درجه سانتیگراد است



شکل ۳: مقایسه میانگین دمای سطحی باغات پسته، محاسبه شده به روش‌های مختلف

نقش بیشتر روش تعیین LST در فصول (مناطق)، گرم نسبت به فصول (مناطق) سرد اشاره کرد. همچنین اختلاف چشمگیری بین دمای سطح زمین (محاسبه شده توسط روش‌های مختلف سنجش از دور) با دمای هوا در محل ایستگاه هواشناسی وجود دارد. این تفاوت‌ها ممکن است در فصول مختلف سال بیشتر و یا کمتر شود. به طور کلی، اختلاف بین دمای سطحی زمین با دمای هوا در فصول گرم، بیشتر (تا ۲۰ درجه سانتیگراد در مردادماه) و در فصول سرد، کمتر (تا ۵ درجه سانتیگراد در دیماه) بوده است.

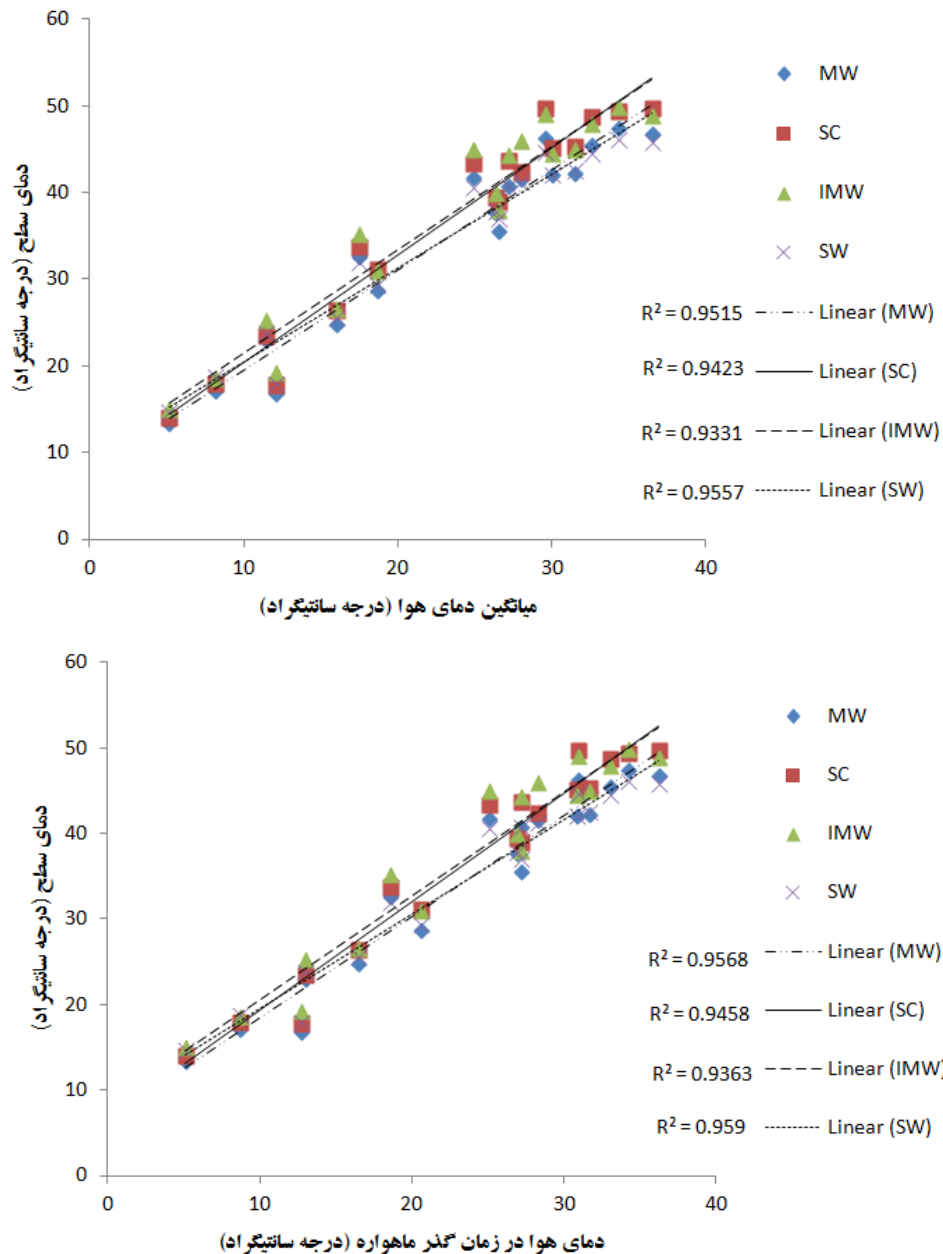
شکل (۴) مقایسه‌ای بین دمای سطحی محاسبه شده به روش‌های مختلف (SW، SC، IMW، MW) با (LST) در ماههای مختلف سال مقاوم است؛ به طوری که در ماههای گرم (مردادماه)، بیشترین اختلاف بین نتایج روش SW و SC با ۵/۱ درجه سانتیگراد دیده می‌شود. این اختلاف در ماههای سرد (دیماه) به حداقل خود یعنی ۰/۳ درجه سانتیگراد می‌رسد. بنابراین می‌توان به اهمیت و



شکل ۴: مقایسه دمای سطحی محاسبه شده به روش‌های مختلف (SW، SC، IMW، MW) با میانگین دمای هوا در منطقه مطالعاتی

که با افزایش دمای هوا، دمای سطح نیز افزایش خواهد یافت. تفاوت دمای هوا و دمای سطح زمین (که به مقادیر آن در شکل (۴) اشاره شد)، مربوط به پتانسیل حرارتی بین هوا و سطح زمین است که در زمانهای مختلف روز و یا روزهای مختلف سال می‌تواند تغییر کرده و این روند را عوض کند.

شکل (۵) ارتباط رگرسیونی بین دمای سطح زمین با میانگین دمای هوا و همچنین با دمای هوای لحظه‌ای در زمان گذر ماهواره را نشان می‌دهد. ارتباط رگرسیونی بین دمای سطح (LST) و دمای هوا (اعم از دمای میانگین و یا دمای لحظه‌ای) نشان می‌دهد که دمای سطح زمین متاثر از دمای هوا بوده و بدیهی است



شکل ۵: ارتباط رگرسیونی بین دمای سطح زمین با (الف) میانگین دمای هوا و (ب) دمای هوا در زمان گذر ماهواره

به سایر روش‌های محاسبه LST برای تخمین دمای هوا ارجح است. جدول (۲) مناسبترین معادلات رگرسیونی برآش شده برای تخمین دمای هوا به کمک دمای سطح زمین یا LST (که به روش‌های مختلف و با به کارگیری تصاویر لندست ۸ قابل محاسبه است) را نشان می‌دهد.

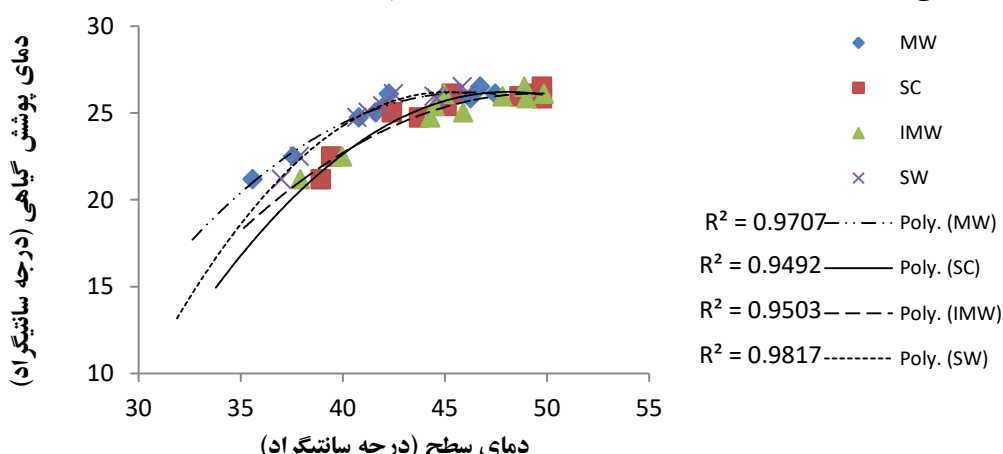
مقایسه ضرایب تبیین ( $R^2$ ) و خطای مجذور میانگین مربعات (RMSE) بین LST محاسبه شده به روش‌های مختلف و دمای هوا نشان می‌دهد که روش‌های مختلف دارای همبستگی‌های نسبتاً مشابهی هستند. در این بین، روش پنجره‌محزا با ضریب تبیین ( $R^2 = 0.9557$ ) و خطای مجذور میانگین مربعات ( $RMSE = 1.94$  درجه سانتیگراد)، نسبت

جدول ۲: مناسبترین معادلات تخمین دمای هوای کمک سطح محاسبه شده به روش‌های مختلف و تصاویر ماهواره‌ای لندست ۸

روش تعیین	مناسبترین معادله تخمین دمای هوای	$R^2$	RMSE
MW	$T_{air} = 0.8158 * LST - 5.1111$	0.9423	2.22
IMW	$T_{air} = 0.7849 * LST - 5.9908$	0.9331	2.39
SC	$T_{air} = 0.7676 * LST - 4.9815$	0.9515	2.03
SW	$T_{air} = 0.8862 * LST - 7.5865$	0.9557	1.94

ماهواره اندازه‌گیری شده است. بر خلاف رابطه رگرسیونی بین LST و دمای هوای به صورت خطی درجه اول برآذش شده است، مناسب‌ترین رابطه رگرسیونی بین LST و دمای پوشش گیاهی باغات پسته، غیرخطی بوده و به صورت چندجمله‌ای درجه دوم است.

شکل (۶) مقایسه بین دمای سطح زمین (که به روش‌های مختلف سنجش از دور و به کارگیری تصاویر لندست ۸ محاسبه شده است) و دمای تاج پوشش گیاهی درختان پسته را نشان می‌دهد. دمای مذکور میانگین دمای بالا، وسط و پائین تاج پوشش گیاهی درختان است که در لحظه گذر



شکل ۶: مقایسه دمای پوشش گیاهی اندازه گیری شده و دمای سطح محاسبه شده به روش‌های مختلف

علاوه بر به کارگیری LST، امکان استفاده از دمای هوای اندازه گیری شده در محل ایستگاه هواشناسی ( $T_{air}$ ) هم وجود دارد. در شکل (۷) مقایسه‌ای بین دمای پوشش گیاهی پسته تخمینی با دو پارامتر مذکور صورت گرفته است. نتایج نشان می‌دهد که دمای سطح زمین (LST) نسبت به دمای هوای ( $T_{air}$ )، پارامتر مناسب‌تری برای تخمین دمای پوشش گیاهی باغات پسته در منطقه مطالعاتی ضرایب تبیین ( $R^2$ ) بین دمای هوای و دمای پوشش

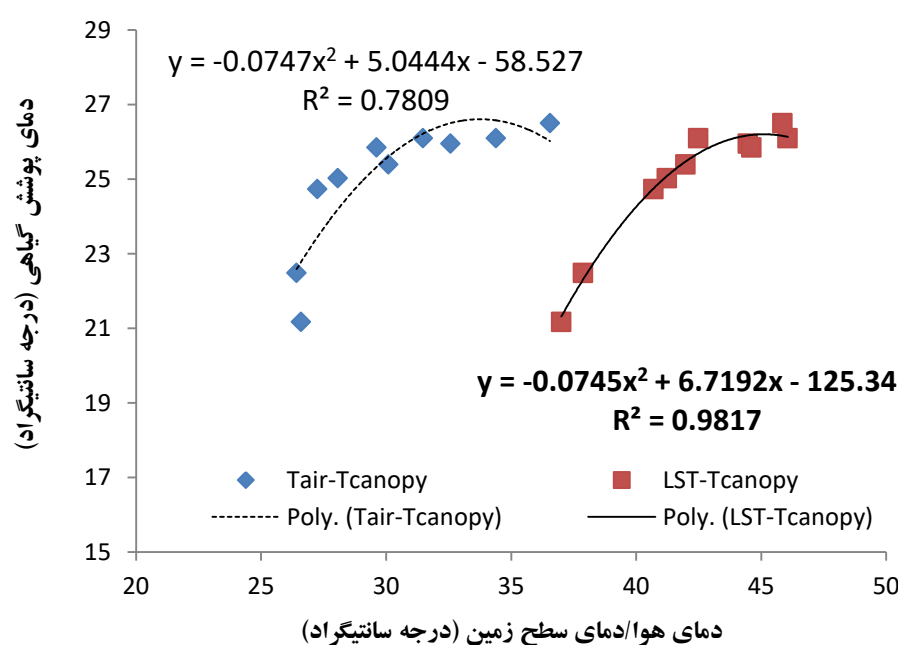
جدول (۳) مناسب‌ترین معادلات برآذش شده برای تعیین دمای پوشش گیاهی باغات پسته ( $T_{canopy}$ ) توسعه LST را نشان می‌دهد. در بین روش‌های مختلف تعیین LST، روش پنجره‌مجزا نسبت به سایر روش‌ها دقیق‌تر ( $R^2=0.9817$ ) و خطای کمتر ( $RMSE=0.23$ ) دارد و برای تخمین دمای پوشش گیاهی باغات پسته در منطقه مطالعاتی پیشنهاد می‌شود. در تعیین دمای پوشش گیاهی باغات پسته ( $T_{canopy}$ )

کالیبراسیونی مربوطه در کاربردی شدن مقادیر LST و  $T_{air}$  و تبدیل آن‌ها به دمای پوشش گیاهی ضروری LST به نظر می‌رسد. از دلایل افزایش قابل توجه مقادیر LST (به دست آمده توسط ماهواره) نسبت به دمای پوشش گیاهی درختان پسته (اندازه‌گیری شده توسط ترمومتر مادون قرمز)، ترکیب دمای پوشش گیاهی موجود در هر پیکسل تصویر ماهواره‌ای با دمای خاک اطراف درختان پسته در همان ناحیه می‌باشد که باعث افزایش دمای سطح در پیکسل‌های مذکور شده است.

گیاهی ۰/۷۸ و بین دمای سطح زمین و دمای پوشش گیاهی ۰/۹۸ می‌باشد. مضافاً اینکه LST دارای توزیع مکانی در سطح منطقه مطالعاتی بوده و از این جهت نیز نسبت به آمار هواشناسی نقطه‌ای ارجح خواهد بود. در نمودار مذکور، دمای سطح زمین به روش پنجره‌مجزا (SW) محاسبه شده است. یکی از مهمترین نکات این نمودار، اینست که دمای پوشش گیاهی ( $T_{canopy}$ ) نسبت به دو پارامتر دمای سطح زمین (LST) و دمای هوا ( $T_{air}$ )، مقدار عددی کمتری دارد. به همین منظور، تعیین ضرایب

جدول ۳: مناسبترین معادلات تخمین دمای پوشش گیاهی پسته (Tcanopy) به کمک دمای سطح زمین (LST)

RMSE	$R^2$	مناسبترین معادله تخمین دمای پوشش گیاهی پسته	روش محاسباتی LST
0.28	0.9707	$T_{canopy} = -0.0463*LST^2 + 4.2746*LST - 72.494$	تک‌پنجره یا MW
0.39	0.9492	$T_{canopy} = -0.0372*LST^2 + 3.6856*LST - 65.279$	تک‌پنجره اصلاح شده یا IMW
0.37	0.9503	$T_{canopy} = -0.0553*LST^2 + 5.3123*LST - 101.43$	تک‌کاناله یا SC
0.23	0.9817	$T_{canopy} = -0.0745*LST^2 + 6.7192*LST - 125.34$	پنجره‌مجزا یا SW

شکل ۷: مقایسه تخمین دمای پوشش گیاهی باغات پسته (Tcanopy) توسط دو پارامتر دمای هوا ( $T_{air}$ ) و دمای سطح زمین (LST)

تحقیقات جدگانه‌ای را می‌طلبد.

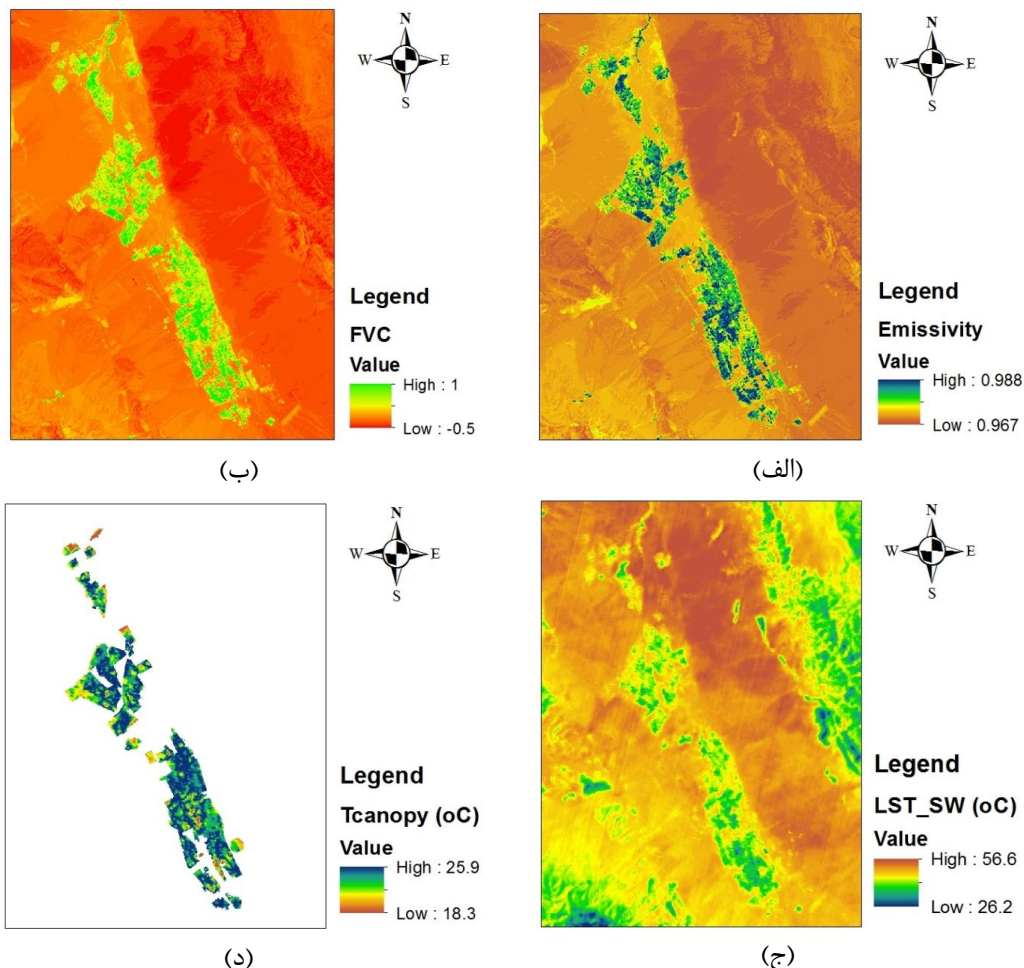
#### ۴- نتیجه‌گیری و بحث

- در این پژوهش الگوریتم‌های مختلف سنجش از دوری تعیین دمای سطح زمین (LST) شامل MW، IMW، SC و SW مورد ارزیابی قرار گرفته‌ند و مشخص شد که اختلاف میانگین دمای محاسباتی توسط الگوریتم‌های مختلف، در حدود ۲/۵ درجه است. این اختلاف دما، اهمیت روش محاسباتی تعیین LST در انجام مطالعات مربوطه را نشان می‌دهد. البته در مطالعه انجام شده توسط روش‌های مختلف با هم‌دیگر در به‌دست آمده توسط روش‌های مختلف روشناسی (FVC)، کسر پوشش گیاهی (T<sub>canopy</sub>) و دمای سطح محاسبه شده به روش پنجره‌مجزا (LST\_SW) در روش SC مطالعه آنان، روش SW، دماهای بیشتر را در روزهای مختلف سال به‌دست داده است. همچنین در مطالعه وانگ و همکاران [۶] و در تابستان عرضهای میانی، خطای روش SC ۲/۳ تا ۳/۷ درجه و خطای روش IMW ۰/۱ تا ۱/۲۹ درجه عنوان شده و بیان کرده‌اند که خطاهای ذکور با افزایش دمای هوای افزایش یافته است.

- نتایج پژوهش حاضر نشان داد که روند مقایسه‌ای دمای سطح محاسبه شده با الگوریتم‌های مختلف، در ماههای مختلف سال متفاوت بوده و نشان‌دهنده اهمیت نقش بیشتر روش تعیین LST در فصول (مناطق) گرم نسبت به فصول (مناطق) سرد است. این نتیجه‌گیری تلویحاً توسط روزنشتهای و همکاران [۳۴] نیز بیان شده است. آن‌ها خطای محاسبه LST را با میزان بخار آب موجود در جو مرتبط دانسته‌اند و اذعان کرده‌اند که با کاهش میزان بخار آب اتمسفری، خطای تعیین دمای سطح زمین توسط ماهواره لندست ۸ افزایش خواهد یافت. لذا می‌توان پیش‌بینی نمود که در ماههای گرم یا مناطق خشک، با کاهش بخار آب جو، از دقت محاسبه LST به کمک تصاویر ماهواره‌ای کاسته می‌شود.

نگاهی به نتایج حاصل از این پژوهش نشان می‌دهد که روش پنجره‌مجزا، از دقت بالاتری نسبت به سایر روش‌های تعیین LST برخوردار بوده و قادر است که دمای هوای دمای پوشش گیاهی باغات پسته را به نحو مناسبی تخمین بزند. از مزایای الگوریتم پنجره‌مجزا این است که در شرایط مختلف جوی و برای محدوده وسیعی از مقادیر بخار آب خوب عمل می‌کند [۳۳]. این الگوریتم تنها به پارامترهای بخار آب (قابل محاسبه از طریق آمار هواشناسی) و گسیلنگی سطح در دو باند حرارتی (قابل محاسبه از طریق کسر پوشش گیاهی) به عنوان ورودی‌ها نیاز دارد. شکل (۸) نقشه‌های گسیلنگی (۴)، کسر پوشش گیاهی (FVC)، دمای سطح محاسبه شده به روش پنجره‌مجزا (T<sub>canopy</sub>) و دمای پوشش باغات پسته (LST\_SW) در تاریخ ۱۰ شهریور ۱۳۹۴ را به عنوان مثال نشان می‌دهد.

نقشه‌های مذکور برای روزهای مختلف از فصل رشد پسته در سال ۱۳۹۴ تولید شده‌اند و مقادیر عددی میانگین، حداقل و حداکثر دمای پوشش گیاهی باغات منتخب پسته در منطقه مطالعاتی از آنها استخراج شده است. تغییرات این مقادیر در نمودار شکل (۹) مشاهده می‌شود. در این نمودار، مقادیر اندازه‌گیری شده دمای پوشش گیاهی باغات منتخب پسته نیز به صورت نمودار خطی آورده شده است. دمای پوشش گیاهی به‌دست آمده توسط تصاویر ماهواره‌ای، بین ۲۲ تا ۲۵ درجه سانتیگراد در نقاط و روزهای مختلف سال متغیر است. همچنین، تغییرات مقادیر اندازه‌گیری شده دمای پوشش گیاهی در باغات منتخب پسته بین ۲۱ تا ۲۵ درجه سانتیگراد است که در برخی تاریخ‌ها، حدود ۱ درجه سانتیگراد با مقادیر محاسباتی به روش SW اختلاف دارند. دلایل تغییرات دمای پوشش گیاهی، ضمن تاثیرپذیری از دمای هوای دمای سطح زمین، ناشی از مدیریت آبیاری و وضعیت رطوبت خاک ناحیه ریشه در زمان‌ها و مکان‌های مختلف است که خود،



شکل ۸: (الف) نقشه گسیلنگی، (ب) نقشه کسر پوشش گیاهی، (ج) نقشه دمای سطحی محاسبه شده به روش پنجره‌جزا،  
ب) نقشه دمای پوشش باغات پسته منطقه مطالعاتی در تاریخ ۱۰ شهریور ۱۳۹۴



شکل ۹: نمایش تغییرات دمای پوشش گیاهی باغات پسته منطقه بهباد به دو روش (۱) اندازه‌گیری شده توسط ترمومتر  
مادون قرمز و (۲) محاسبه شده توسط تصاویر ماهواره‌ای لندست ۸ و به روش پنجره‌جزا

سانتیگراد دارند. این معادلات پس از برازش خط رگرسیونی بین LST محاسباتی و دمای پوشش گیاهی اندازه‌گیری شده با ترمومتر مادون قرمز دستی حاصل شده‌اند. از دیگر مزایای به کار گیری LST ماهواره‌ای به جای  $T_{air}$  ایستگاهی اینست که LST دارای توزیع مکانی در سطح منطقه مطالعاتی بوده و نسبت به آمار نقطه‌ای هواشناسی ارجح است.

در این پژوهش مشخص شد که الگوریتم پنجره‌مجزا (SW)، از دقت بالاتری نسبت به سایر روش‌های تعیین LST برخوردار بوده و می‌تواند در تعیین دمای پوشش گیاهی باغات پسته استفاده شود. طبق گفته محققین، در شرایطی که اطلاعات کافی و دقیق از شرایط انتقال (ضرایب  $\tau$ ,  $L_u$  و  $L_d$ ) موجود باشد، الگوریتم تک کاناله که از وارونه‌سازی مستقیم معادله انتقال تشعشع حاصل می‌شود، به عنوان یک روش مناسب‌تر نسبت به SW شناخته می‌شود. اما در شرایطی که مقدار بخار آب بالاست (بیشتر از ۳ گرم بر سانتی‌مترمربع) و یا اطلاعات انتقالی دقیق نیست (نظیر مناطقی از ایران)، این الگوریتم دارای خطای بیشتری نسبت به الگوریتم پنجره‌مجزا خواهد بود [۲۳]. البته یکی دیگر از منابع اصلی خطا در چنین مطالعاتی، ضریب گسیلنگی است که افزایش دقت در تعیین آن، به دقت بیشتر LST خواهد انجامید. با این وجود، بر اساس نتایج به دست آمده برای منطقه مطالعاتی، پیشنهاد می‌شود که از روش SW برای محاسبه دمای سطح زمین و دمای پوشش گیاهی باغات پسته استفاده شود.

- [1] T. Schmugge, A. French, J. C. Ritchie, A. Rango and H. Pelgrum, "Temperature and emissivity separation from multispectral thermal infrared observations", *Remote Sensing of Environment*, Vol. 79, pp. 189–198. 2002.
- [2] J. P. Lagarde, Y. H. Kerr and Y. Brunet,

در این پژوهش اختلاف چشمگیری بین دمای سطح زمین (محاسبه شده توسط روش‌های مختلف سنجش از دور) با دمای هوا در محل ایستگاه هواشناسی بهایاد وجود داشت که این اختلاف در فصول گرم، بیشتر (تا ۲۰ درجه سانتیگراد در مردادماه) و در فصول سرد، کمتر (تا ۵ درجه سانتیگراد در دیماه) بود. در خصوص نتیجه‌گیری اخیر یعنی اختلاف بین دمای هوا و دمای سطح زمین، مطالعات زیادی انجام شده است. به عنوان مثال در مطالعه رن و همکاران [۳۳] این اختلاف بین ۱۰-۲۵ درجه در فصول مختلف سال عنوان شده است. آن‌ها اشاره کرده‌اند که افزایش اختلاف دما بین سطح زمین و هوای مجاور، منجر به افزایش خطای محاسباتی در استخراج پارامتر بخار آب جو و نهایتاً محاسبه LST خواهد شد. در مطالعه مشابه اوادان و جوانوفسکا [۳۰] که برای دو سایت مختلف و به کمک تصاویر لندست ۸ انجام شده بود، اختلاف دمای سطح زمین با دمای هوا در محل ایستگاه‌های مختلف هواشناسی بین ۰/۷-۸/۷ درجه عنوان شده است. در مطالعه ایشان، LST برای برخی مناطق کمتر از دمای هوا و برخی مناطق بیشتر از دمای هوا به دست آمده است.

در این پژوهش مشخص شد که ضریب همبستگی بین دمای پوشش گیاهی باغات پسته ( $T_{canopy}$ ) و دمای سطح زمین (LST) بیشتر از ضریب همبستگی بین دمای پوشش گیاهی باغات پسته و دمای هوا ( $T_{air}$ ) است و لذا، LST پارامتر مناسب‌تری برای تخمین دمای پوشش گیاهی باغات پسته بدهی به  $T_{air}$  است؛ به طوری که، معادلات مربوطه خطای کمتر از ۱ درجه

## مراجع

- "An experimental study of angular effects on surface temperature for various plant canopies and bare soils", *Agricultural and Forest Meteorology*, Vol. 77, pp. 16–190, 1995.
- [3] J. A. Sobrino, J. C. Jimenez-munoz, J. El-Kharraz, M. Gomez, M. Romaguera and G.

- Soria, "Single-channel and two-channel methods for land surface temperature retrieval from DAIS data and its application to the Barrax site", International Journal of Remote sensing, Vol. 25, (1), pp. 215–230, 2004.
- [4] X. Yu, X. Guo and Z. Wu, "Land surface temperature retrieval from Landsat 8 TIRS - Comparison between radiative transfer equation-based method, split window algorithm and single channel method", International Journal of Remote Sensing, Vol. 6(10), pp. 9829-9852, 2014.
- [5] J. R. Irons, J. L. Dwyer, and J. A. Barsi, "The next Landsat satellite: The Landsat Data Continuity Mission", Remote Sensing and Environment Journal, Vol. 122, pp. 11–21, 2012.
- [6] F. Wang, Z. Qin, C. Song, L. Tu, A. Karnieli and S. Zhao, "An Improved Mono-Window Algorithm for Land Surface Temperature Retrieval from Landsat 8 Thermal Infrared Sensor Data", International Journal of Remote Sensing, Vol. 7, pp. 4268-4289, 2015.
- [7] D. A. Quattrochi and J.C. Luvall, "Thermal Remote Sensing in Land Surface Processing", CRC Press: Boca Raton, FL, USA, 2004.
- [8] J. D. Kalma, T. R. McVicar and M. F. McCabe, "Estimating land surface evaporation: A review of methods using remotely sensed surface temperature data," Journal of Surveys Geophysics, Vol. 29 (4/5), pp. 421–469, 2008.
- [9] W. Kustas and M. Anderson, "Advances in thermal infrared remote sensing for land surface modeling", Agricultural Forest Meteorology, Vol. 149 (12), pp. 2071–2081, 2009.
- [10] J. C. Jiménez-Muñoz, J. Cristóbal, J. A. Sobrino, G. Sòria, M. Ninyerola, and X. Pons, "Revision of the single-channel algorithm for land surface temperature retrieval from Landsat thermal-infrared data", IEEE Transaction of Geosciences in Remote Sensing, Vol. 47(1), pp. 339–349, 2009.
- [11] J. C. Jiménez-Muñoz, J. A. Sobrino, D. Skokovic, C. Mattar, and J. Cristóbal, "Land Surface Temperature Retrieval Methods From Landsat-8 Thermal Infrared Sensor Data", IEEE geosciences and remote sensing letters, Vol. 11(10), pp. 25-37, 2014.
- [12] J. C. Jimenez-Munoz and J.A. Sobrino, "A generalized single-channel method for retrieving land surface temperature from remote sensing data", Journal of Geophysical Research, Vol. 108 (D22-4688), pp. 1-9 2003.
- [13] USGS, "Landsat 8 Instruments", Available online: [http://landsat.usgs.gov/band\\_designations\\_landsat\\_satellites.php](http://landsat.usgs.gov/band_designations_landsat_satellites.php) (accessed on 29 Nov. 2016), 2016.
- [14] J. A. Barsi, J. L. Barker and J. R. Schott, "An Atmospheric Correction Parameter Calculator for a Single Thermal Band Earth-Sensing Instrument", presented at the IGARSS03, Centre de Congres Pierre Baudis, Toulouse, France, 2003.
- [15] J. A. Barsi., J. R. Schott, F. D. Palluconi and S. J. Hook, "Validation of a Web-Based Atmospheric Correction Tool for Single Thermal Band Instruments", Earth Observing Systems, X, Proc. SPIE, San Diego, CA, Vol. 5882, 2005.
- [16] D. A. Artis and W. H. Carnahan, "Survey of emissivity variability in thermography of urban areas", Remote Sensing of Environment, Vol. 12 (4), pp. 313–329, 1982.
- [17] F. B. Balcik and E. M. Ergene, "Determining the impacts of land cover/use categories on land surface temperature using Landsat8-OLI", presented at The International Archives of the Photogrammetry, Remote Sensing and Spatial Information Sciences, Vol. XLI-B8, XXIII ISPRS Congress, Prague, Czech Republic, 2016.
- [18] R. Leuning, F. M. Kelliher, D. G. G. Pury and E. D. Schulze, "Leaf nitrogen,

- photosynthesis, conductance and transpiration: scaling from leaves to canopies". *Journal of Plant Cell Environment*, Vol. 18, pp. 1183-1200, 1995.
- [19] Z. Qin, A. Karnieli and P. Berliner, "A mono-window algorithm for retrieving land surface temperature from Landsat TM data and its application to the Israel-Egypt border region", *International Journal of Remote Sensing*, Vol. 22, pp. 3719-3746, 2001.
- [20] J. A. Sobrino, Z. L. Li, M. P. Stoll, and F. Becker, "Multi-channel and multi-angle algorithms for estimating sea and land surface temperature with ATSR data," *International Journal of Remote Sensing*, Vol. 17(11), pp. 2089–2114, 1996.
- [21] L. Morales-Salinas, J. C. Parra-Aravena, F. Lang-Tasso, R. Abarca-Del Río and E. Jorquera-Fontena, "Simple linear algorithm to estimate the space-time variability of precipitable water in the Araucanía Region, Chile", *Journal of Soil Science and Plant Nutrition*, Vol. 12, pp. 295–302, 2012.
- [22] M. Moradizadeh, M. Momeni and M. R. Saradjian, "Estimation of atmospheric column and near surface water vapor content using the radiance values of MODIS", presented at The International Archives of the Photogrammetry, Remote Sensing and Spatial Information Sciences. Vol. XXXVII. Part B8. Beijing, 2008.
- [23] J. C. Jiménez-Muñoz, J. A. Sobrino, D. Skokovic, C. Mattar, and J. Cristóbal, "Land Surface Temperature Retrieval Methods From Landsat-8 Thermal Infrared Sensor Data", *IEEE geosciences and remote sensing letters*, Vol. 11(10), pp. 25-37, 2014.
- [24] J. Cristóbal, J. C. Jiménez-Muñoz, J. A. Sobrino, M. Ninyerola and X. Pons, "Improvements in land surface temperature retrieval from the Landsat series thermal band using water vapor and air temperature", *Journal of Geophysics Research*, Vol. 114, pp. 91-107, 2009.
- [25] A. Benmecheta, A. Abdellaoui, and A. Hamou, "A comparative study of land surface temperature retrieval methods from remote sensing data", *Canadian Journal of Remote Sensing*, Vol. 39 (1), pp. 59-73, 2013
- [26] M. B. Giannini, O. R. Belfiore, C. Parente and R. Santamaría, "Land Surface Temperature from Landsat 5 TM images: comparison of different methods using airborne thermal data", *Journal of Engineering Science and Technology Review*, Vol. 8 (3), pp. 83-90, 2015.
- [27] J. A. Sobrino, J. C. Jimenez-Munoz, G. Soria, M. Romaguera, L. Guanter, J. Moreno, A. Plaza and P. Martinez, "Land surface emissivity retrieval from different VNIR and TIR sensors". *IEEE Transaction of Geoscience Remote Sensing*, Vol. 46, pp. 316–327, 2008.
- [28] D. Skokovic, J. A. Sobrino, J. C. Jimenez-Munoz, G. Soria, Y. Julien, C. Mattar and J. Cristobal, "Calibration and Validation of Land Surface Temperature for Landsat 8 TIRS Sensor", presented at Land product Validation and Evolution, ESA/ESRIN Frascati, Italy, 2014.
- [29] M. S. Latif, "Land Surface Temperature Retrieval of Landsat-8 Data Using Split Window Algorithm- A Case Study of Ranchi District", *International Journal of Engineering Development and Research*, Vol. 2 (4), pp. 23-39, 2014.
- [30] U. Avdan and G. Jovanovska, "Algorithm for Automated Mapping of Land Surface Temperature Using LANDSAT 8 Satellite Data", Hindawi Publishing Corporation, *Journal of Sensors*, Vol. 2016, Article ID 1480307, P. 8, 2016.
- [31] Z. L. Li, H. Wu , N. Wang , S. Qiu , J. A. Sobrino , Z. Wan , B.H. Tang and G. Yan, Land surface emissivity retrieval from satellite data", *International Journal of Remote Sensing*, Vol 34 (9-10), pp. 3084-3127, 2013.
- [32] E. Rubio, V. Caselles, C. Badenas, 1997, Emissivity measurements of several soils and vegetation types in the 8–14,  $\mu\text{m}$  Wave band: Analysis of two field methods, *Remote Sensing of Environment*, Volume

59, Issue 3, Pages 490-521.

- [33] H. Ren, C. Du, R. Liu, Q. Qin, G. Yan, Z. L. Li, and J. Meng “Atmospheric water vapor retrieval from Landsat 8 thermal infrared images”, Journal of Geophysics Research and Atmosphere, Vol. 120, pp. 81-99, 2015.
- [34] O. Rozenstein, Z. Qin, Y. Derimian and A. Karnieli, “Derivation of Land Surface Temperature for Landsat-8 TIRS Using a Split Window Algorithm”, Sensors , Vol. 14, pp. 5768-5780, 2014.



## Evaluation of different LST approaches for determination of pistachio tree canopy temperature through Landsat 8 satellite data

Rahimian, M.H.<sup>1</sup>, Shayannejad, M.\*<sup>1</sup>, Eslamian, S.S.<sup>1</sup>, Safari, R.<sup>2</sup>, Gheysari, M.<sup>1</sup>, Taghvaeian, S.<sup>3</sup>

1- Isfahan University of Technology, College of Agriculture, Water Engineering Department

2- Isfahan University of Technology, College of Natural Resources, Watershed Engineering Department

3- Oklahoma State University, Stillwater, Oklahoma, USA, Department of Biosystems and Agricultural Engineering

### Abstract

One of the applications of satellite images is to determine Land Surface Temperature (LST), which has widespread uses in estimation of air temperature (Tair), estimation of vegetation canopy temperature (Tcanopy), investigation of environmental stresses and management options on plant health status and so on. Remotely sensed based LST maps can be generated through different approaches or algorithms; each one fits with a set of input data and climatic conditions and has some advantages and shortcomings. In this study, four LST determination algorithms, namely Mono Window (MW), Improved Mono Window (IMW), Single Channel (SC) and Split Window (SW) algorithms were used to estimate pistachio tree Tcanopy through Landsat 8 OLI/TIRS images and then were evaluated with the aid of ground based measurements in Bahabad region, Yazd province of Iran. The results indicate a substantial difference of about 2.5 degrees Celsius in the average LSTs of different algorithms. Moreover, trend of their differences changes seasonally, emphasizing on importance of LST generation algorithm in warm seasons (regions), compared to cold seasons (regions). Also it was found that LST is a more appropriate parameter than air temperature (Tair) to estimate canopy temperature of pistachio trees (Tcanopy) in the studied area. Under such a condition, Tcanopy determining equations, as a function of LST, have had the error of less than 1 degree Celsius. Furthermore, Split Window algorithm (SW) was found to be more accurate than other LST determining algorithms and substantially, can be recommended for estimation of pistachio canopy temperature, as well.

**Key words:** Split Window Algorithm, Canopy Temperature, IR Thermometer, Pistachio, Landsat 8.

**Correspondence Address** Department of Water Engineering, College of Agriculture, Isfahan University of Technology, Isfahan, Iran  
Tel: +89 13 11831933  
Email: : shayannejad@cc.iut.ac.ir